

SYSTEMY DWÓHA CĄSTEC

- popis klasických systémů: fenomenologický a statistický přístup, - klasické systémy
 - výměla energie, nerovnováha a její důsledky, - funkcionalní aproximace

Ulamův systém

\vec{r}_i - vektor částice (\vec{F}_{int}) + vlny molekuly a vlny $m_i \vec{v}_i = \vec{F}_i = \vec{F}_{ext} + \vec{F}_{int}$
 Následně celou soustavu uvažovat klasicky (převést hmotnosti)

Těžištní a polypřít, jedno těžištní a vlny jsou soustředěna ušetřit hmotu; polypřít
 $x_T = \frac{1}{N} \sum_i m_i x_i$ $\vec{r}_T = \frac{1}{N} \sum_i m_i \vec{r}_i$

Pro každou částici $x_T = \frac{1}{N} \int x \, dm = \frac{1}{N} \int \bar{x} \rho(\bar{x}) \, dV$

1. Impulsová věta $\vec{P}_T = \sum \vec{F}_{ext}$

2. Newtonova 3. Zk - reakční vlny a tělesa se vzájemně odpovídá $\sum \vec{F}_{int} = 0$
 Hybnost soustavy - součet celkové hybnosti a rychlosti těžištní $\vec{P} = N \cdot \vec{r}_T$

$\frac{d\vec{P}}{dt} = \sum \vec{F}_{ext}$ v izolované soustavě lze vyjádřit celou hybnost soustavy

Impulsová vlna - hmotná hybnost $\vec{P} = \int_{t_i}^{t_f} \vec{F}(t) \, dt$
 $\vec{P}_f = \vec{P}_i$

Uhlíková vlna



$\theta = \frac{s}{r}$ $\Delta\theta = \theta_2 - \theta_1$ $\omega = \frac{d\theta}{dt}$ rychlost $v = \frac{ds}{dt}$
 vlny vln. vlnění (prostorová vlnění a vlnění vlnění)

Rychlost vln $a_e = \epsilon \cdot g$ u rovinných $a_g = \frac{v^2}{r} = \omega^2 r$ [rad s⁻¹]

Moment setrvačnosti $I = \sum m_i r_i^2$ $I = \int r^2 \, dm = \int r^2 \rho \, dV$
 I závisí na tvaru tělesa, vzdal. těžištní od osy otáčení, orientace vlnění a hmot.

Moment vlny $\vec{N} = \vec{r} \times \vec{F}$ $\vec{N} = \vec{r} \times \vec{F}$

2. Impulsová věta $I \dot{\omega} = \sum \vec{N}_i$ $\frac{dL}{dt} = \sum \vec{N}_i$

Moment hybnosti $\vec{L} = \vec{r} \times \vec{p}$; $\vec{L} = I \vec{\omega}$ - perpendikulární

→ fenomenologický přístup (když není významná)

Statistický přístup - podmínky se ne na jednotl. částici, ale na prostředích: Na druhém
 stupni us'je vlnění jako fenomen.

Spektrum makroskopický a mikroskopický přístup
 $N_A = 6.02 \cdot 10^{23} \text{ mol}^{-1}$ Avogadrova konstanta

Tlak vlnění m malý plyn $p = \frac{m m_{rms} v_{rms}^2}{3V}$ $p_{cl} = \sqrt{\kappa^2}$ $p_{cl} = \sqrt{\frac{3RT}{m_{rms}}}$
 $E_{cl} = \frac{3}{2} kT$ - skupné hmotnosti 3 (tripunkturní bod) $k = 1.38 \cdot 10^{-23} \text{ J K}^{-1}$

Makroskopická rozdělení - pro vlnění $n(\eta, r, dr)$

$P(r) = \frac{4}{\sqrt{\pi}} \left(\frac{m_{rms}}{2\sqrt{2}RT} \right)^{3/2} r^2 \exp\left(-\frac{m_{rms} v^2}{2RT}\right)$
 vyjádření: \vec{v} , $r_p = \sqrt{\frac{2RT}{m_{rms}}}$ $\bar{r} = \sqrt{\frac{2RT}{m_{rms}}}$

Wrażliwość na zmiany energii - принцип чувствительности
 V krawców nieścisłe połączenie prowadzi do odmiennych efektów → to jest m.in. klasyczny przykład

Przewodność węgla 2 odcinki ze zmianą przekroju → uwaga: nieliniowość

Składanie 2 elementów $\xrightarrow[\text{brak } \varepsilon \text{ w } \text{napiecie}]{\text{dielektryk}}$ $\xrightarrow[\text{napiecie - rozkład wzdłuż}]{\text{na hrotach stopnia}}$

Wrażliwość prądu $\rightarrow \leftarrow \rightarrow$

Wrażliwość superpozycji odcinków

$$A(1,2 \rightarrow a,b) = A(1 \rightarrow a, 2 \rightarrow b) + A(2 \rightarrow a, 1 \rightarrow b) \quad (1)$$

2 odcinki odcinka $\left\{ \begin{array}{l} \text{fermionowy} \\ \text{bosony} \end{array} \right. \left\{ \begin{array}{l} \text{fermi-dielektryk stały} \\ \text{bosony nie ma (1) } \end{array} \right. \left\{ \begin{array}{l} \text{bosony dielektryk stały} \\ \text{bosony nie ma (1) } \end{array} \right.$

Przy fermionach: a, b bliźni → celowa A ≠ 0. Elementy nie wybijają, jedyną dodatkową - autokumulację

bosony A ≠ 2 - kumulacja

Struktura odcinka $\psi(\mathbb{R}_1, \mathbb{R}_2, \dots)$... zsumowanie 2 odcinków

$$\psi(x_1, \dots, x_j, \dots, x_i, \dots, x_n) = e^{i\varphi} \psi(x_1, \dots, x_i, \dots, x_j, \dots, x_n) \text{ limitu na } \varphi$$

$$\psi(x_1, \dots, x_i, \dots, x_j, \dots, x_n) = e^{i\varphi} \psi(x_1, \dots, x_j, \dots, x_i, \dots, x_n) = e^{i2\varphi} \psi(x_1, \dots, x_i, \dots, x_j, \dots, x_n)$$

- $e^{i2\varphi} = +1$... stała symetryzacja: bosony ($e^{i2\varphi} = 1$) elektrony spin
- $e^{i2\varphi} = -1$... fermionowy (półsymetryzacja spin)

bosony mają symetryzowaną f, fermionowy antysymetryzowaną

Fermionowy k-fermionowy ma stan $\psi_1(x) \dots \psi_k(x)$

$$\psi(x_1, \dots, x_k) = \begin{vmatrix} \psi_1(x_1) & \dots & \psi_k(x_1) \\ \vdots & & \vdots \\ \psi_1(x_k) & \dots & \psi_k(x_k) \end{vmatrix} \text{ Slater det}$$

det - musi zsumować po permutacji

Plan punktów wylotowa! Fermionowy - aż po w'jony pro T → 0 zaplemię ston

Pr. 2 elementów $\left\{ \begin{array}{l} \text{spinowa część autokumulacji} \\ \text{przewodna część autokumulacji} \end{array} \right.$

$$\rightarrow \psi_1 = |+\rangle |+\rangle \vee \psi_2 = |-\rangle |-\rangle \vee \psi_3 = \frac{1}{\sqrt{2}} (|+\rangle |-\rangle + |-\rangle |+\rangle) \text{ spinowa część (sym) } \text{ bosony}$$

$$\psi_4 = \frac{1}{\sqrt{2}} (|+\rangle |-\rangle - |-\rangle |+\rangle) \text{ antysym - singlet cell. spin 0}$$

Bosony - kondensacja T → 0 - HeLi i w'jony na najniższym stanie → makroskopijny fenomenalny efekt chłodni!

Wzrost polaryzacji - tym więcej na płaszczyźnie - tym więcej przewodności, że nie p'jony
 dubin (symulowana) lewice v laseru

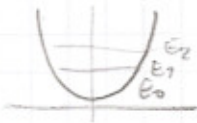
Statistická fyzika

Ideální plyn - neinteragující částice

$\Psi(Z) = \sum_{\text{stav}} e^{-\frac{E}{T}} = e^{-\frac{F}{T}} ; Z = \sum_{\text{stav}} \exp(-(\epsilon_i - \mu N_i)) / T = + e^{-\frac{F}{T}}$

$\Psi(x_1, x_2, \dots) = \Psi(x_1) \Psi(x_2) \dots$ 1 částice na

Bosony & Fermiony symbolem x aubingy ulevit
 Diracův řád. 10 $E = \omega \hbar (m + \frac{1}{2})$



neinterakující n_i

celkový stav $E_x = \mu_0 \epsilon_0 + \mu_1 \epsilon_1 + \dots$ ϵ_i kv. jednodušších stavů
 $N_i = n_1 + n_2 + n_3$

$\Psi(x_1, x_2) = \Psi_0(x_1) \Psi_0(x_2)$ $\Psi(x_1, x_2) \sim \Psi_0(x_1) \Psi_1(x_2) \pm \Psi_0(x_2) \Psi_1(x_1)$

Systém volný moment $\Psi \rightarrow \Psi + \Psi + \Psi + \dots$ ab. symetrie uči dráhaž

Grand kanonický ansatz $\sum_x = \sum_{N_0=0}^{\text{max}} \sum_{N_1=0}^{\text{max}} \dots$ bez operujících se stavů

$\sum_x \exp(-(\epsilon_x - \mu N_x) / T) = \sum_{n_0} \sum_{n_1} \sum_{n_2} \dots \left(e^{-(\epsilon_0 n_0 + \epsilon_1 n_1 + \dots - \mu (n_0 + n_1 + \dots)) / T} \right)$

$= \sum_{n_0=0}^{\infty} e^{-\frac{(\epsilon_0 - \mu) n_0}{T}} \cdot \sum_{n_1=0}^{\infty} e^{-\frac{(\epsilon_1 - \mu) n_1}{T}} \cdot \dots$ $\{1, \infty\} \left\{ \begin{matrix} 1 \dots \text{fermions} \\ \infty \dots \text{bosony} \end{matrix} \right.$

Bosony $\sum_{n_0=0}^{\infty} (e^{-\frac{(\epsilon_0 - \mu)}{T}})^{n_0} = \frac{1}{1 - e^{-\frac{(\epsilon_0 - \mu)}{T}}}$ $Z_B = \prod_{i=0}^{\infty} \frac{1}{1 - e^{-\frac{(\epsilon_i - \mu)}{T}}}$
Fermiony $\sum_{n_0=0}^{\infty} e^{-\frac{(\epsilon_0 - \mu)}{T} n_0} = 1 + e^{-\frac{(\epsilon_0 - \mu)}{T}}$ $Z_F = \prod_{i=0}^{\infty} (1 + e^{-\frac{(\epsilon_i - \mu)}{T}})$

$e^{-\frac{F}{T}} = Z \rightarrow \Omega = -T \ln Z \rightarrow \Omega_B = -T \ln \prod_{i=0}^{\infty} \frac{1}{1 - e^{-\frac{(\epsilon_i - \mu)}{T}}} = T \sum_{i=0}^{\infty} \ln(1 - e^{-\frac{(\epsilon_i - \mu)}{T}})$

$\Omega_F = -T \sum_{i=0}^{\infty} \ln(1 + e^{-\frac{(\epsilon_i - \mu)}{T}})$

$\rightarrow \Omega_B = -T \sum_{i=0}^{\infty} \ln(1 - e^{-\frac{(\epsilon_i - \mu)}{T}})$ Landauův potenciál - suma přes jednodušších stavů